

# 繰り返し荷重を受ける鋼製ラーメン隅角部におけるハンチの効果

Effect of haunch at connection of steel moment frame subjected to cyclic loading

山口栄輝\*, 市川篤司\*\*, 池田学†, 久保知徳††, 三木千寿\*\*

Eiki YAMAGUCHI, Atsushi ICHIKAWA, Manabu IKEDA, Tomonori KUBO and Chitoshi MIKI

\*Ph.D. 九州工業大学助教授 工学部建設社会工学科 (〒804-8550 福岡県北九州市戸畠区仙水町1-1)

\*\*工博 東京工業大学教授 工学部土木工学科 (〒152-8552 東京都目黒区大岡山2-12-1)

†工修 鉄道総合技術研究所 構造物技術開発事業部 鋼・複合構造 (〒185-8540 東京都国分寺市光町2-8-38)

††九州工業大学大学院 工学研究科博士前期課程 (〒804-8550 福岡県北九州市戸畠区仙水町1-1)

The behavior of beam-to-column connections is crucial in the design of steel moment frames, since large resultant forces and stress concentration can take place there. The elastic design based on the analytical study of stress concentration has been the standard method for the connections. However, such a design approach is not practical against large earthquake, and much remains to be researched for establishing the seismic design of connections. In the present study, the effect of a haunch, which is often utilized to reduce the stress concentration in a connection, is investigated numerically. The result shows that a haunch enhances rigidity and strength, but that it does not necessarily improve ductility, since it tends to induce local buckling before substantial plastic deformation occurs.

*Key Words:* steel moment frame, connection, haunch, seismic design, FEM

## 1. はじめに

都市高架道路においては、薄肉箱形断面部材で構成された鋼製ラーメン橋脚が数多く建設されている。その安全性確保には、大きな断面力の作用する可能性がある上に、せん断遅れによる応力集中も生じる梁と柱の接合部（隅角部）の設計が重要となる。隅角部における応力集中に関しては奥村らの研究<sup>1)</sup>がよく知られており、その研究成果に基づいた弾性設計がこれまで種々の設計基準として採用してきた。

一方で、鋼製ラーメン橋脚隅角部の耐荷力や変形能に関する研究も行われてきている。中井ら<sup>2)</sup>は使用限界における応力照査法や終局強度照査法について検討し、酒造ら<sup>3)</sup>は崩壊形式による変形挙動の違いを示している。黄ら<sup>4), 5)</sup>は種々の材料や寸法を用いた実験を行い、強度、変形能に及ぼす影響を調べている。山田ら<sup>6)</sup>、青木ら<sup>7)</sup>は、矩形断面部材だけでなく、八角形や円形断面部材の隅角部の耐震特性について研究している。また岡下ら<sup>8)</sup>、三木ら<sup>9)</sup>は隅角部の脆性破壊の研究に取り組んでいる。

1995年の兵庫県南部地震以降、大きな繰り返し荷重下での変形挙動の把握が耐震設計上重要となり、単柱形式の鋼製橋脚などでは実験的・解析的に数多くの

研究がなされ、巨大地震時の変形挙動もほぼ予測できるようになってきた<sup>10)-13)</sup>。それに比して、隅角部の変形挙動に関する研究は、既存のものだけでは必ずしも十分ではなく、巨大地震に対する隅角部の設計方針が確立されているとは言い難い。

本研究では、鋼製ラーメン橋脚の隅角部に取り付けられるハンチの効果に着目した。ハンチは隅角部の応力集中を緩和するために従来より用いられており、耐力の増加が期待されている。しかしながら、大きな繰り返し荷重下におけるハンチ付き隅角部の力学的挙動に関する研究は少なく、池田らにより実験的研究が行われている程度である<sup>14)</sup>。本研究では、この実験を参考にしてABAQUS<sup>15)</sup>による複合非線形有限要素解析を行い、ハンチの効果について検討する。

## 2. 解析条件

### 2.1 解析モデル

池田らの載荷実験<sup>14)</sup>で用いられた供試体の中から2つ(G-1, G-3)を解析対象として取り上げ、その概略を図-1に示している。載荷点側の部材を梁、反対側の部材を柱と呼び、ハンチが取り付けられた区間(図-1の斜線部)を本論文では隅角部と定義する。

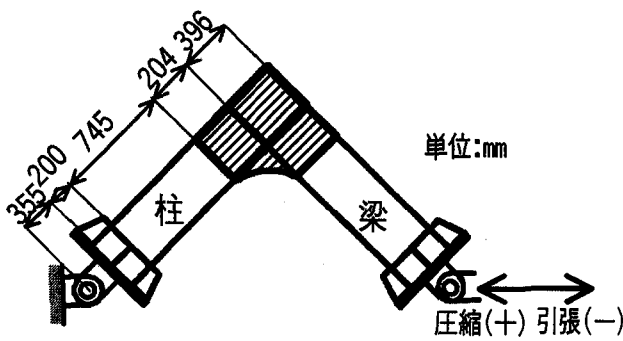


図-1 供試体概略図

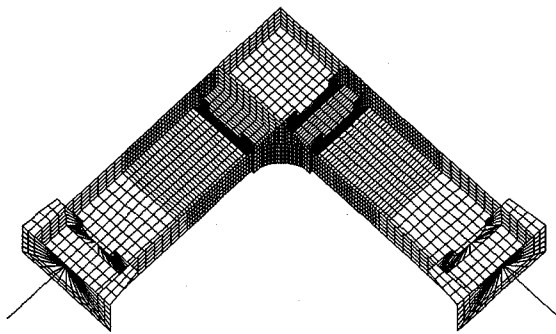


図-2 要素分割

表-1 供試体の諸元

供試体	柱・梁部材		隅角部板厚
	フランジ	ウェブ	
G-1	410 mm × 12 mm	380 mm × 12 mm	16 mm
G-3			22 mm

梁・柱部材はいずれも箱形断面であり、同じ断面寸法、長さとなっている。諸元は表-1にまとめている。また、ハンチの曲率半径は200mm、ハンチおよびダイアフラムの板厚はそれぞれ12mm、7mmである。

G-1, G-3の違いは隅角部の板厚にある。G-1の板厚は平均応力をもとに設計され16mmであるのに対し、せん断遅れの影響を考慮して定めたG-3の板厚は22mmとなっている。幅厚比は、柱・梁部材の一般部のフランジ、ウェブでそれぞれ0.780, 0.723, G-1の隅角部フランジ、ウェブで0.550, 0.510, G-3の隅角部フランジ、ウェブで0.400, 0.371である。

G-1, G-3供試体は、隅角部内側に曲線型ハンチを取り付けた構造形式となっている。本研究では、このハンチを取り外した供試体モデルの解析も行い、ハンチの効果を検討する。その際には、ハンチ先端のダイアフラムの影響を見るため、ダイアフラムのある場合、ない場合の解析も行う。ハンチはないがダイアフラムは有している供試体をH-1, H-3、ハンチもダイアフラムもない供試体をI-1, I-3と呼ぶこととする。また記述の便宜上、G-1, H-1, I-1をシリーズ1, G-3, H-3, I-3をシリーズ3と呼ぶ。

有限要素解析においては、対称性を考慮し、供試体の1/2のみを解析対象とする。図-2にG-1およびG-3の解析で用いた要素分割を示す。使用した要素数はシェル要素4096個、梁要素2個である。梁要素は供試体端部の載荷治具の部分に該当しており、剛としている。初期たわみと残留応力は無視する。

実験供試体に用いられた鋼材はSM490で、その一軸引張試験結果からパラメータ値を定めた三曲面モデ

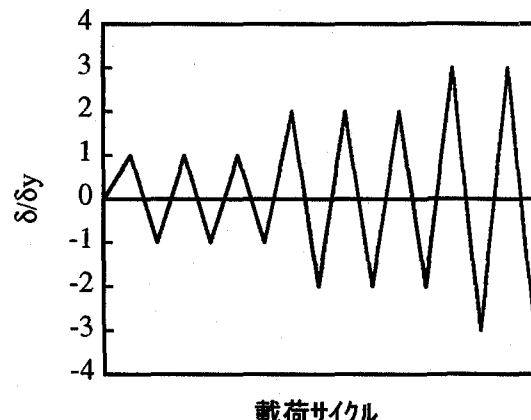


図-3 載荷点の水平変位履歴

ル<sup>16)</sup>を本解析では構成則として使用する。

## 2.2 載荷方法

図-1に示すように、両端をヒンジ固定（一端は水平方向可動）し、梁部材端部の変位制御により載荷する。フランジ隅角部近傍における軸方向ひずみの平均値が降伏ひずみに達した時点を降伏点とし、その時の変位 $\delta_y$ を用いて、 $\delta_y \rightarrow 2\delta_y \rightarrow 3\delta_y \rightarrow \dots$ と次第に振幅を大きくしながら各振幅で3サイクルずつ繰り返し載荷する（図-3）。圧縮、引張の定義は図-1に示す通りであり、圧縮を正、引張を負として本論文では取り扱う。載荷方法や符号（正負）の定義は、池田ら<sup>14)</sup>が採用したものに合わせている。なお、 $\delta_y$ はシリーズ1で11mm、シリーズ3で9.5mmである。

ところで、鋼製橋脚の載荷実験では、各振幅1サイクルずつの繰り返し載荷が行われることが多い<sup>11)</sup>。このことを考慮し、1サイクル載荷による解析も行い、サイクル数の影響についても検討する。

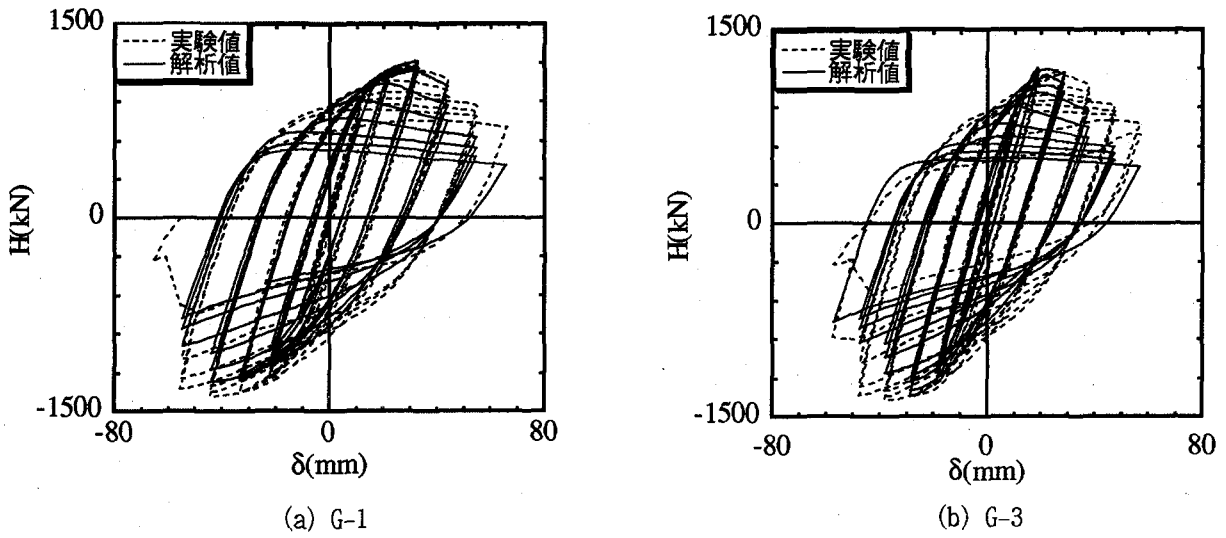


図-4 水平荷重－水平変位関係（履歴曲線）

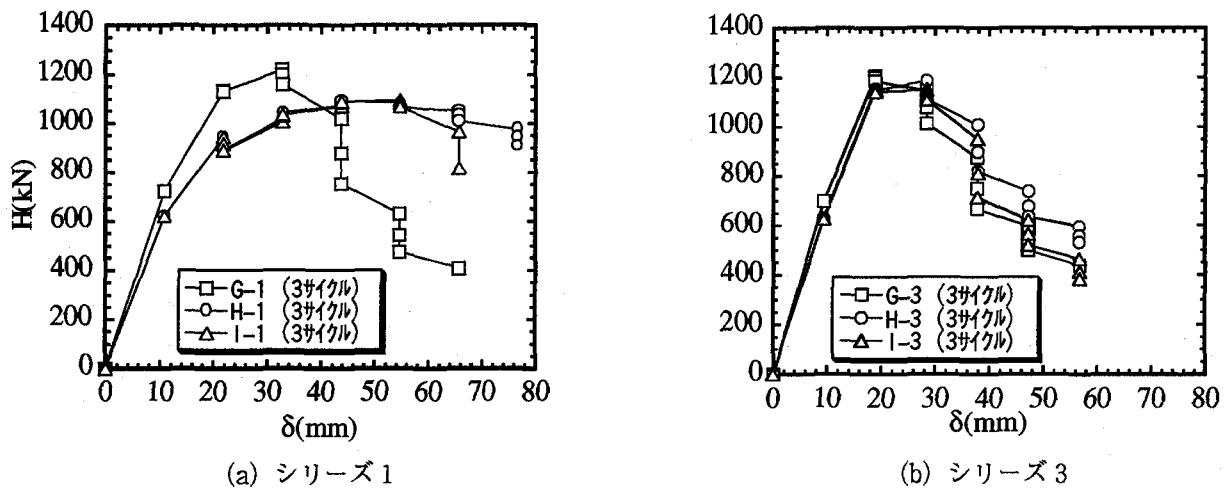


図-5 水平荷重－水平変位関係（3サイクル載荷）

### 3. 解析結果および考察

#### 3.1 荷重－変位関係

##### (1) 3サイクル載荷

G-1 および G-3 の解析結果として、載荷点での水平荷重  $H$  - 水平変位  $\delta$  の関係を実験結果とともに図-4 に示している。最大耐力以降の劣化域で解析結果は耐力を小さめに評価しているが、鋼製橋脚の耐震設計で重要となるのは耐力が若干低下するまでの変形挙動であること<sup>17), 18)</sup>、この種の繰り返し載荷実験ではその結果にばらつきが見られること<sup>11)</sup>などを考慮すれば、本解析法により耐震性を実用上十分に評価し得ると判断される。

次に、H-1, H-3, I-1, I-3 の解析を行い、第一象限における包絡線を G-1, G-3 の結果とともに図-5 に描いている。図-5 (a) に示すシリーズ 1 の解析結

果を見ると、ハンチを取り外すことにより剛性と最大耐力は若干低下するものの、最大耐力点の変位は  $3\delta_y$  (33mm) から  $5\delta_y$  (55mm) へと大幅に増加している。

一方、図-5 (b) から理解されるように、シリーズ 3 の解析結果はシリーズ 1 とかなり異なる。すなわち、シリーズ 3 では、ハンチやダイアフラムの有無にかかわらず、最大耐力まではほぼ同じ変形応答を示す。違いは最大耐力以降に生じ、G-3, I-3, H-3 の順で耐力低下は大きくなっている。ただし、その差はそれほど大きなものではない。また G-1 と G-3 の解析結果を比べると、せん断遅れを考慮せずに隅角部を設計しても、ハンチを取り付ければほぼ同じ耐力、変形能を確保できることがわかる。

H-1, H-3 の解析結果をそれぞれ I-1, I-3 の結果と比較すれば、ダイアフラムの影響は最大耐力以前には

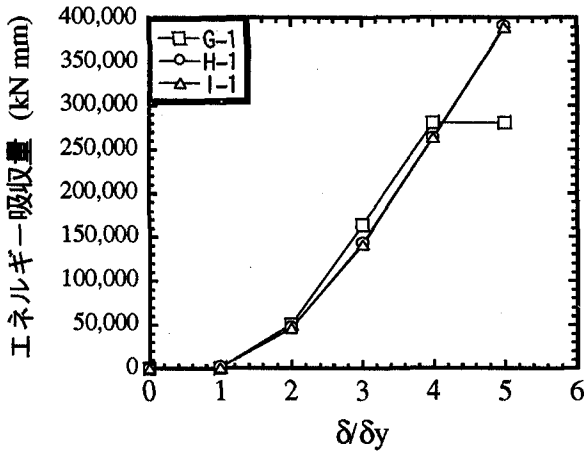


図-6 エネルギー吸収量

ほとんど見られないものの、最大耐力以降の劣化の度合いはダイアフラムにより緩和されていることが理解される。

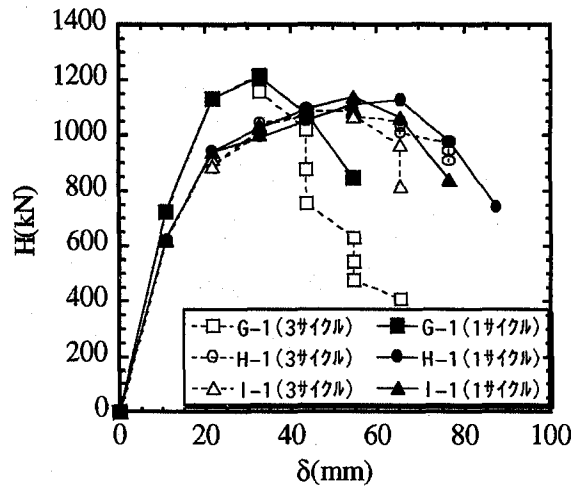
シリーズ1の解析結果から載荷サイクルごとのエネルギー吸収量を計算し、各振幅ごとのエネルギー吸収量（3サイクルの合計）を図-6にまとめている。4 $\delta_y$ までは、G-1の方が若干多くのエネルギーを吸収するが、その後はH-1、I-1のエネルギー吸収量の方が大きくなる。そのため、安定した変形領域である最大耐力点（G-1では3 $\delta_y$ 、H-1、I-1では5 $\delta_y$ ）までに吸収されるエネルギー量は、G-1よりH-1、I-1の方が多くなる。

## (2) 1サイクル載荷

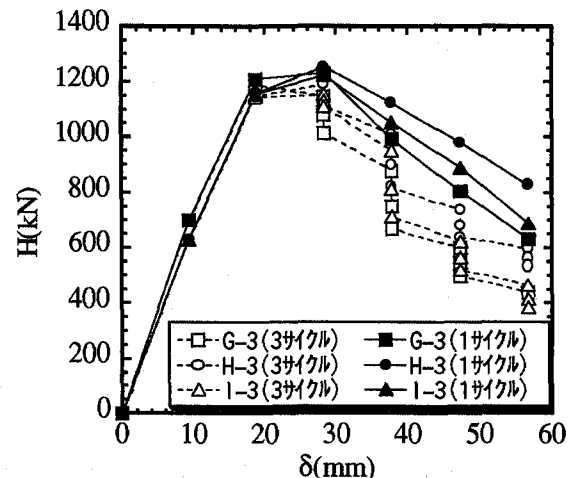
各振幅での繰り返し載荷を1回として解析を行い、解析結果として載荷点での水平荷重-水平変位（H- $\delta$ ）曲線の包絡線を図-7に示している。この図には3サイクル載荷の解析結果も示しているが、すべての場合において、繰り返し回数の違いは最大耐力以降の劣化域で顕著となり3サイクル載荷の方が耐力低下の度合いが大きい。宇佐美らは、単柱形式の橋脚供試体を用いて繰り返し回数の影響を実験的に調べているが、その実験結果でも本解析結果と同様に繰り返し回数の影響は耐力低下域で顕著になっている<sup>19)</sup>。そのため、耐震設計で重要なのは耐力が若干低下するまでの変形挙動であることや実験結果のばらつきを考えれば、耐震特性の把握には、1サイクル載荷による検討でも実用上は十分と思われる。また、ハンチやダイアフラムの効果については、3サイクル載荷の場合と同様の傾向が認められた。

## 3.2 変形性状

すべての解析において、局部座屈は最大耐力付近で



(a) シリーズ1



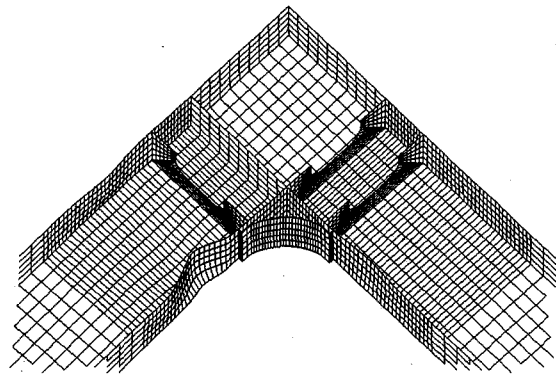
(b) シリーズ3

図-7 水平荷重-水平変位関係（1,3サイクル載荷）

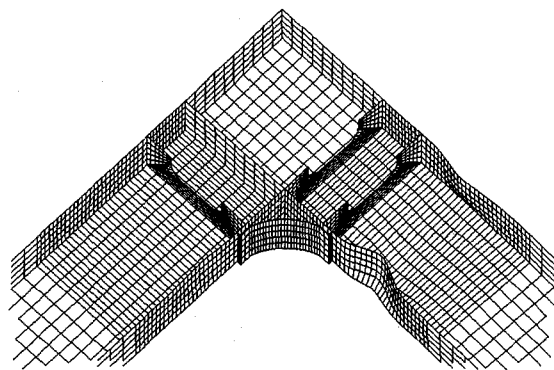
生じ始め、その初期段階においては梁部材、柱部材の両方で面外変形が認められた。しかしながら、変形が進むに連れて、どちらか一方の局部座屈が進展し片側に変形が集中した。これは実験での観察と符合している。

図-8にシリーズ1の変形性状を示している。G-1の場合には、局部座屈が板厚の小さな部材一般部に集中して生じているのに対し、H-1、I-1の場合には、隅角部にも面外変形が見られる。一般に、隅角部と部材一般部の剛性差が大きいと、剛性の小さな部材一般部に変形が集中しやすくなるため、塑性変形が広がる前に局部座屈が発生する。図-5(a)に見られるハンチの有無による荷重-変位曲線の違いは、このような変形挙動の差を反映していると考えられる。

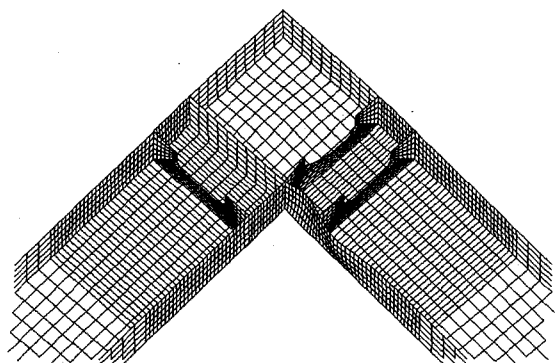
シリーズ3の変形性状を図-9にまとめている。この場合には、ハンチの有無にかかわらず、すべての



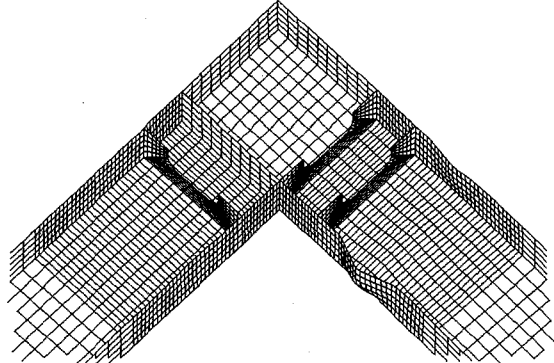
(a) G-1 ( $+4 \delta_y$ )



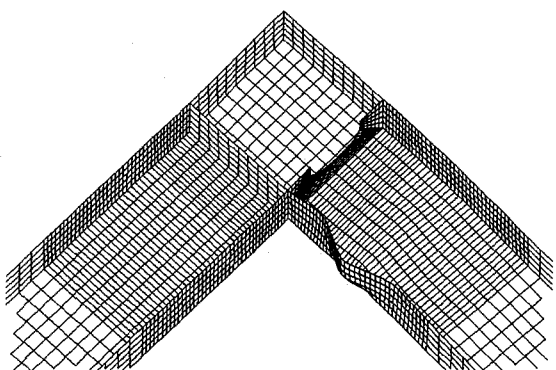
(a) G-3 ( $+4 \delta_y$ )



(b) H-1 ( $+6 \delta_y$ )



(b) H-3 ( $+4 \delta_y$ )

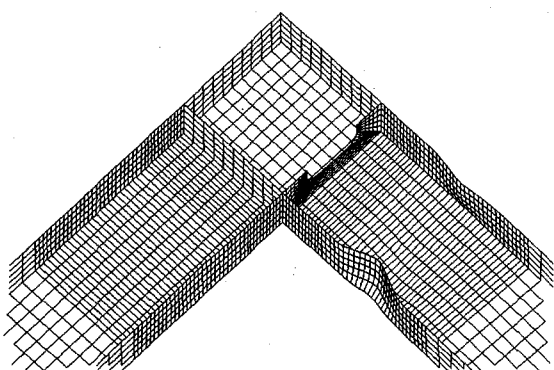


(c) I-1 ( $+6 \delta_y$ )

図-8 変形性状（シリーズ1）

ケースで局部座屈が部材一般部に集中して生じている。このシリーズでは隅角部の板厚がせん断遅れの影響を考慮して定められており、シリーズ1より6 mm (37.5%) 厚い。そのため、ハンチがなくても隅角部の剛性は梁・柱部材の一般部より十分に大きくなっている。ハンチの有無による座屈モードの違いが生じず、図-5 (b) の荷重-変位関係においても顕著な差が現れなかったと考えられる。

図-8, 9 から分かるように、ハンチ先端のダイアフラムは局部座屈発生箇所近傍に位置しており、その



(c) I-3 ( $+4 \delta_y$ )

図-9 変形性状（シリーズ3）

剛性により面外変形は抑制されている。3.1(1)において、ダイアフラムの効果は最大耐力以降で見られることを述べたが、これは局部座屈が最大耐力付近で現れ、その後に顕著となる面外変形がダイアフラムによって抑制されることに対応していると考えられる。

なお、いずれの場合においても、隅角部ウェブパネルおよびハンチで塑性変形が認められた。

以上は3サイクル載荷の解析結果をもとにしている。1サイクル載荷の場合、局部座屈の進展および耐力低下は遅いが、基本的には同じ変形性状を示した。

#### 4. まとめ

本研究では、鋼製ラーメン隅角部の耐震特性を把握するために、特にハンチの効果に着目して解析的検討を行った。得られた結果をまとめると次の通りである。

- (1) 平均応力から隅角部板厚を定めても、ハンチを取り付ければ、剛性、最大耐力ともに上昇し、せん断遅れを考慮して板厚を決めた場合とほぼ同じ耐力、変形特性が得られる。
- (2) せん断遅れを考慮して隅角部板厚を定めた場合、ハンチを取り付けることによる剛性、最大耐力の上昇は小さい。
- (3) 平均応力から隅角部板厚を定めてハンチを付けない場合、最大耐力は若干小さくなるが、最大耐力点の変位や最大耐力点までに吸収されるエネルギー量はむしろ大きくなる。
- (4) 平均応力から隅角部板厚を定めた場合、ハンチを付けなければ、面外変形が隅角部にも生じる局部座屈モードとなる。これ以外の場合、局部座屈はすべて柱・梁部材の一般部に集中して起こる。
- (5) ハンチ先端部に取り付けられるダイアフラムは局部座屈を抑制するように作用し、最大耐力以降の劣化の度合いを緩和する。
- (6) 耐震設計で重要となる、耐力が若干低下するまでの隅角部の力学的挙動を把握するには、1サイクル載荷による検討でも十分と考えられる。

上述の結果は、ハンチの取り付けにより、剛性および耐力は増加するが、変形能、エネルギー吸収能については、必ずしも改善されるとは限らないことを示唆している。また、隅角部の補修は困難と考えられること<sup>18)</sup>やノースリッジ地震で隅角部に多数の脆性破壊が生じたこと<sup>20)</sup>を思えば、本研究で見られた隅角部ウェブパネルに損傷が生じないという変形モードは好ましいと思われるが、その一方で隅角部ウェブパネルでのエネルギー吸収を期待する耐震設計の考え方<sup>3)</sup>もある。今後は、そうした点や死荷重による軸力、ハンチサイズの影響などを考慮に入れ、ハンチの効果や適用法についてさらに検討を加えていきたいと考えている。

#### 謝辞

本研究は、日本鋼構造協会「次世代土木鋼構造委員会」および科学技術研究費特定領域研究(B)「日米共同研究による都市地震災害の軽減」の活動の一環として行ったものであり、研究助成を受けた。また三曲面モデルの適用に関しては、名古屋工業大学の後藤芳顯教

授にご指導頂いた。ここに記して深く感謝する。

#### 参考文献

- 1) 奥村敏恵、石沢成夫：薄板構造ラーメン隅角部の応力計算について、土木学会論文集、第153号、pp.1-18、1968年。
- 2) 中井博、福岡悟、酒造敏廣、明橋克良：鋼製ラーメン隅角部のShear lagと耐荷力とに関する実験的研究、構造工学論文集、Vol.33A、pp.193-206、1987年。
- 3) 酒造敏廣、事口寿男：鋼製ラーメン隅角部の崩壊性状と変形性能に関する実験的研究、構造工学論文集、Vol.37A、pp.121-134、1991年。
- 4) 黄元燮、西村宣男、高津秀俊：鋼製ラーメン橋脚隅角部の強度と変形能に関する実験的研究、構造工学論文集、Vol.40A、pp.201-214、1994年。
- 5) 黄元燮、西村宣男、西野滋博：鋼製ラーメン隅角部パネルの強度および変形能の評価法、構造工学論文集、Vol.40A、pp.215-226、1994年。
- 6) 山田尚之、青木徹彦：鋼製八角形断面柱を有するラーメン隅角部の静的および繰り返し強度特性に関する実験的研究、構造工学論文集、Vol.42A、p.p.197-205、1996年。
- 7) 青木徹彦、長谷川桂、山田将樹：鋼製ラーメン橋脚隅角部モデルの曲げおよび繰り返し強度特性に関する実験的研究、構造工学論文集、Vol.43A、p.p.177-186、1997年。
- 8) 岡下勝彦、大南亮一、道場康二、山本晃久、富松実、丹治康行、三木千壽：兵庫県南部地震による神戸港港湾幹線道路P75橋脚隅角部におけるき裂損傷の原因調査・検討、土木学会論文集、No.591/I-43、pp.243-261、1998年。
- 9) 三木千壽、四沢利康、穴見健吾：鋼製橋脚ラーメン隅角部の地震時脆性破壊、土木学会論文集、No.591/I-43、pp.273-281、1998年。
- 10) 耐震設計研究WG：鋼橋の耐震設計指針案と耐震設計のための新技術、土木学会（鋼構造委員会鋼構造新技術小委員会），1996年。
- 11) 建設省土木研究所、首都高速道路公団、阪神高速道路公団、名古屋高速道路公社、鋼材倶楽部、日本橋梁建設協会：道路橋橋脚の地震時限界状態設計法に関する共同報告書(I)，1997年。
- 12) 構造工学震災調査特別小委員会：鋼製橋脚の非線形数値解析と耐震設計に関する論文集、土木学会（構造工学委員会），1997年。
- 13) 鋼構造物の耐震検討小委員会：第2回鋼構造物の非線形数値解析と耐震設計への応用に関する論文

- 集, 土木学会(鋼構造委員会), 1998年.
- 14) 池田学, 市川篤司, 山田正人, 安原正人: 鋼製ラーメン隅角部の交番載荷実験, 鉄道総研報告, 第13巻, 第4号, 1999年.
  - 15) ABAQUS/Standard User's Manual, Ver.5.7, HKS, 1997.
  - 16) 後藤芳顯, 王慶雲, 高橋宣男, 小畠誠: 繰り返し荷重下の鋼製橋脚の有限要素法による解析と材料構成則, 土木学会論文集, No.591/I-43, pp.189-206, 1998年.
  - 17) 日本道路協会: 道路橋示方書・同解説, V 耐震
- 設計編, 丸善, 1996年.
  - 18) 鉄道総合技術研究所: 鉄道構造物等設計標準・同解説 耐震設計(案), 1998年.
  - 19) 宇佐美勉, 坂野茂, 是津文章, 青木徹彦: 鋼製橋脚モデルの繰り返し弾塑性挙動における荷重履歴の影響, 構造工学論文集, Vol.39A, pp.235-247, 1993年.
  - 20) Chen, W.F. and Yamaguchi, E.: Spotlight on steel moment frames, Civil Engineering, March, ASCE, pp.44-46, 1996.

(1999年9月17日受付)